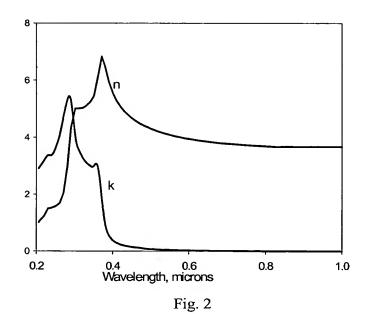


Fig. 1 (PRIOR ART)



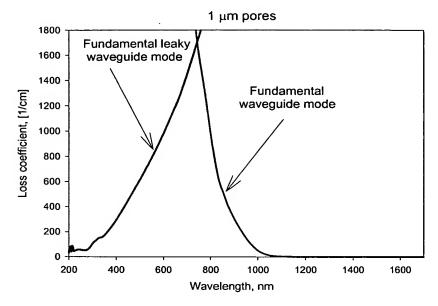


Fig. 3 (PRIOR ART)

## [00128]

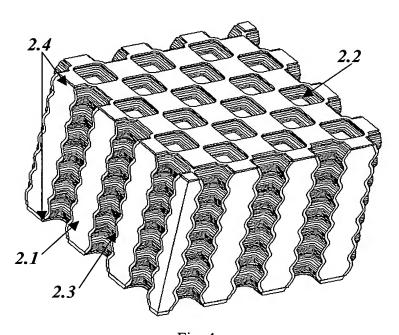


Fig. 4a

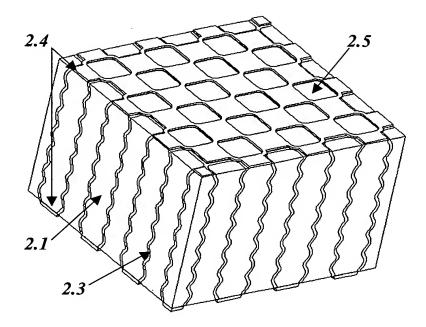


Fig. 4b

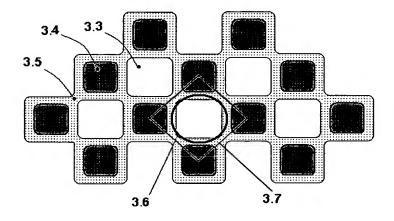


Fig. 5a

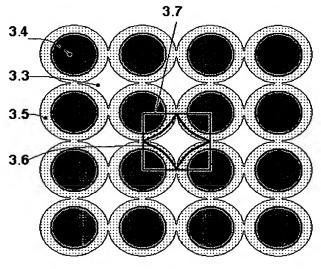


Fig. 5b

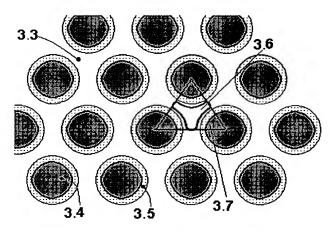


Fig. 5c

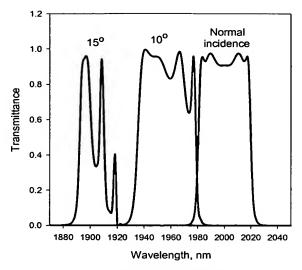


Fig. 6a (PRIOR ART)

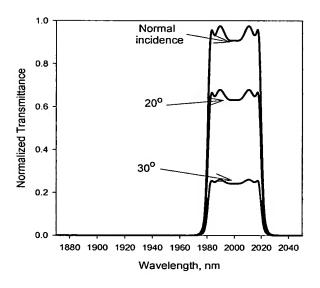


Fig. 6b

1.0 Plane-parallel beam 10<sup>0</sup> 0.8 Transmittance 0.6 20° 0.4 0.2 0.0 1900 1950 2000 2050 2100 Wavelength, nm

Fig. 6c (PRIOR ART)

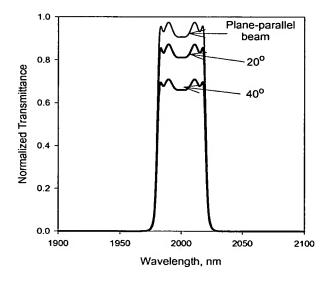


Fig. 6d

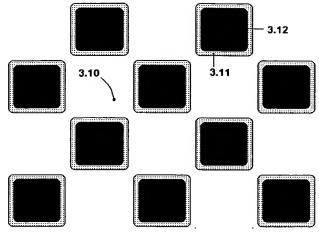
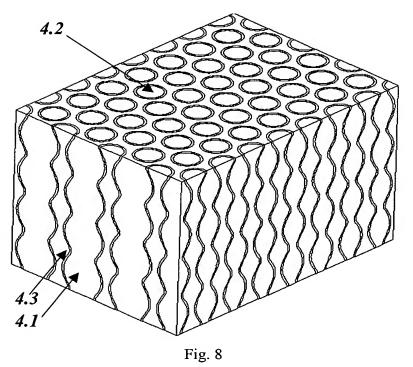


Fig. 7



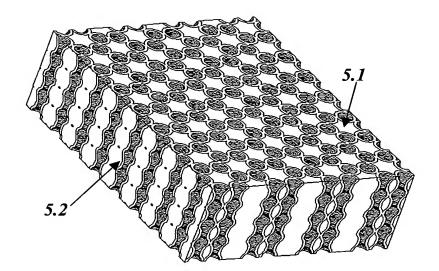


Fig. 9a

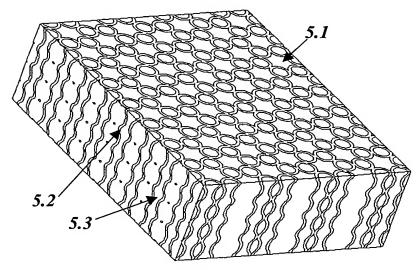


Fig. 9b

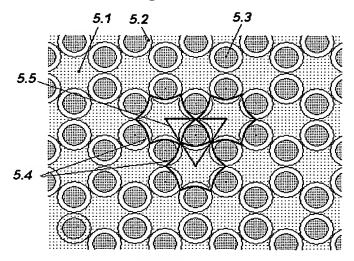


Fig. 9c

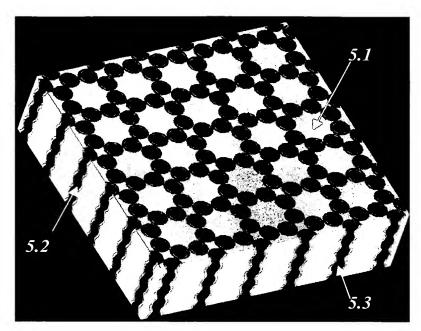


Fig. 10a

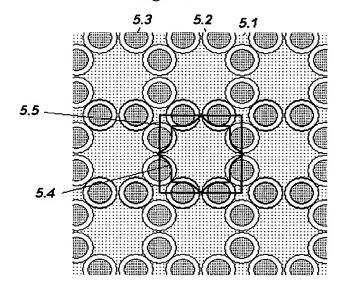


Fig. 10b

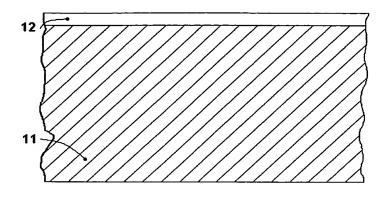


Fig. 11a

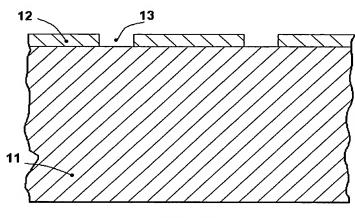


Fig. 11b

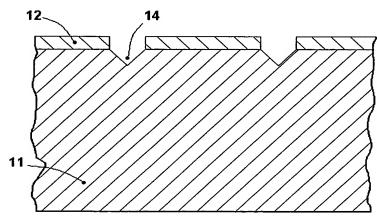


Fig. 11c

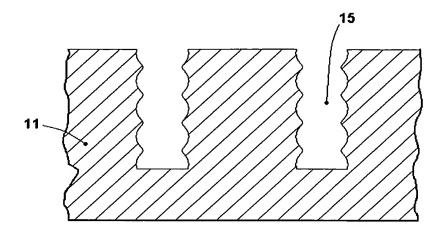


Fig. 11d

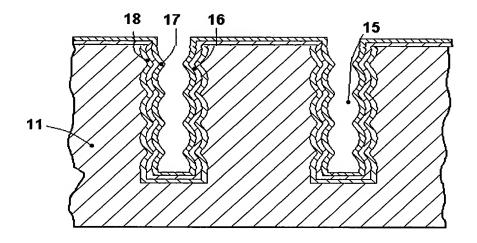


Fig. 11e

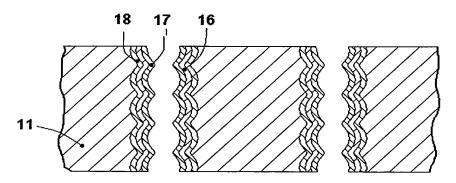


Fig. 11f

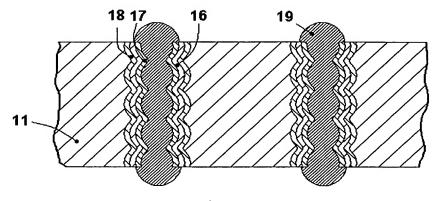


Fig. 11g

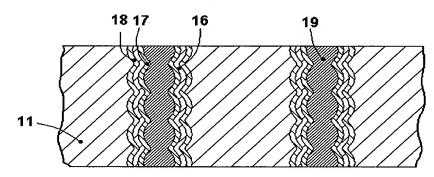


Fig. 11h

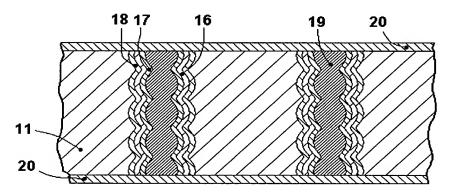


Fig. 11i

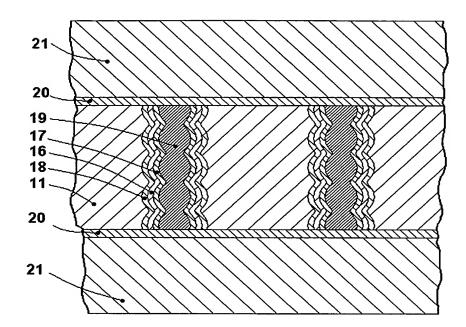


Fig. 11j

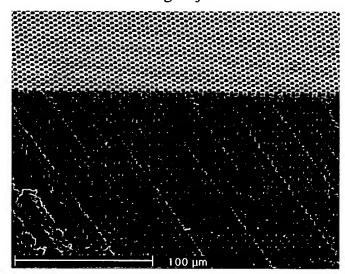


Fig. 12a

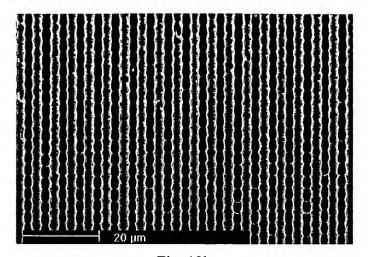


Fig. 12b

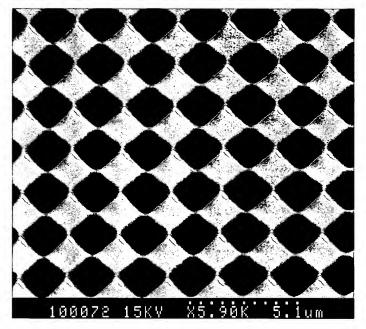


Fig. 12c

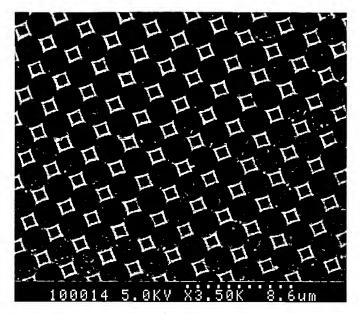


Fig. 13a

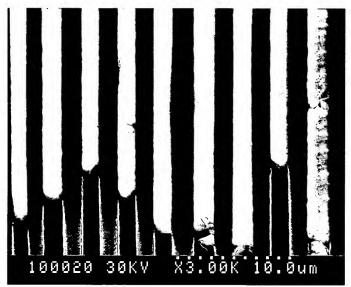


Fig. 13b

